

MODELLO ELASTICO-LINEARE della TRAVE

(1)

(IN 2D)

Nell'ipotesi di sezioni rigide e piccoli spostamenti il comportamento della trave viene descritto tramite 3+3+3 grandezze incognite:

sollecitazioni $\{N, T, M\}$, deformazioni $\{\varepsilon, \gamma, \chi\}$

spostamenti $\{u, v, \theta\}$

noti i carichi distribuiti lungo l'asse s $\{p, q, \mu\}$

e le condizioni agli estremi $s=0, s=l$

in termini (grandezze fisiche come funzioni di $T(0), T(l), M(0), M(l)$ in un dominio in cui sono definite)

I campi incogniti soddisfano 3 gruppi di equazioni

EQUILIBRIO (EQL)

COMPATIBILITÀ (CMP)
(CINEMATICA)

LEGAMI COSTITUTIVI (CST)

$$\begin{cases} \frac{dN}{ds} + p = 0 \\ \frac{dT}{ds} + q = 0 \\ \frac{dM}{ds} + T + \mu = 0 \end{cases}$$

$$\begin{cases} \varepsilon = \frac{du}{ds} \\ \gamma = \frac{dv}{ds} - \theta \\ \chi = \frac{d\theta}{ds} \end{cases}$$

$$\begin{cases} N = EA\varepsilon \\ T = GA^*\gamma \\ M = EJ\chi \end{cases}$$

a parte le condizioni agli estremi, $s=0, s=l$, poste in termini di forze concentrate $\{N(0), N(l), T(0), T(l), M(0), M(l)\}$ e/o di spostamenti $\{u(0), u(l), v(0), v(l), \theta(0), \theta(l)\}$

EQI, e CMP sono inquadabili nel PRINCIPIO di BUANCIO, che determina una condizione di dualità tra descrizione

CINEMATICA {ε, γ, χ} ↔ {u, v, θ}

e DINAMICA {N, T, M} ↔ {p, q, μ}

PRINCIPIO di BUANCIO

P_{est} - P_{int} = 0

P_{est} = ∫₀^l (pε + qγ + μθ) + [N_u + T_v + M_θ]₀^l

P_{int} = ∫₀^l Nε + Tγ + Mχ

∀ {ε, γ, χ} COMPATIBILI

efo ∀ {N, T, M} EQUILIBRATO.

I legami costitutivi sono invece inquadabili nel PRINCIPIO di DISSIPAZIONE.

Infatti, l'ENERGIA di DEFORMAZIONE

φ = 1/2 ∫₀^l (EAε² + (GA*)γ² + EJχ²)

può essere vista come l'ENERGIA LIBERA* del sistema "fisico" trave.

* l'energia LIBERA è, in un dato sistema fisso, è la quantità di lavoro che il sistema può rilasciare all'ambiente esterno, indipendentemente dalle condizioni cui tale ambiente eventualmente condiziona il sistema stesso

PRINCIPIO DI DISSIPAZIONE

$$\boxed{P_{int} - \dot{\phi} \geq 0}$$

$$\dot{\phi} = \frac{d\phi}{dt} = \int_0^l \{ (EA\varepsilon)\dot{\varepsilon} + (GA^*\gamma)\dot{\gamma} + (EJ\kappa)\dot{\kappa} \}$$

non è mai negativa, la differenza tra l'energia prodotta, nell'unità di tempo, all'interno di un sistema per bilanciare l'energia introdotta dall'ambiente esterno, e l'energia rilasciata, nella stessa unità di tempo, dal sistema stesso.

⇒ In assenza di dissipazione il principio "legge" quindi i legami costitutivi.

$$0 = P_{int} - \dot{\phi} \equiv \int_0^l \{ (N - EA\varepsilon)\dot{\varepsilon} + (T - GA^*\gamma)\dot{\gamma} + (M - EJ\kappa)\dot{\kappa} \}$$

da cui appunto le equazioni CST.

NB : il principio di dissipazione è noto anche come disuguaglianza di Clausius-Duhem.

La differenza $P_{int} - \dot{\phi}$ è una potenza dissipata e nei fatti misura l'"indisponibilità" di un sistema (la trave) a produrre lavoro, cioè l'entropia. In questa accezione il principio può essere quindi inquadrato come il principio della termodinamica.

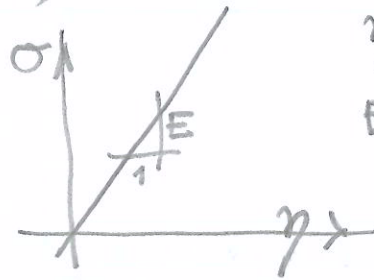
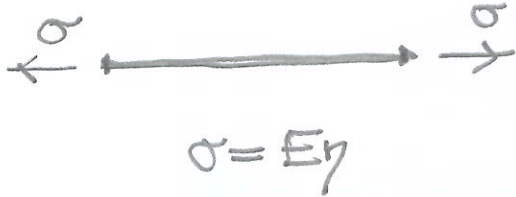
L'irreversibilità dell'evento fisico "equilibrio della trave" si manifesta quando il sistema "trave" perde l'elasticità tra la risposta sollecitativa e quella deformativa.

GENESI DEL LEGAME ELASTICO LINEARE

(4)

Esperienze di HOOKE (1660), EULER (~1730),
RICCATI (1782), YOUNG (1807)

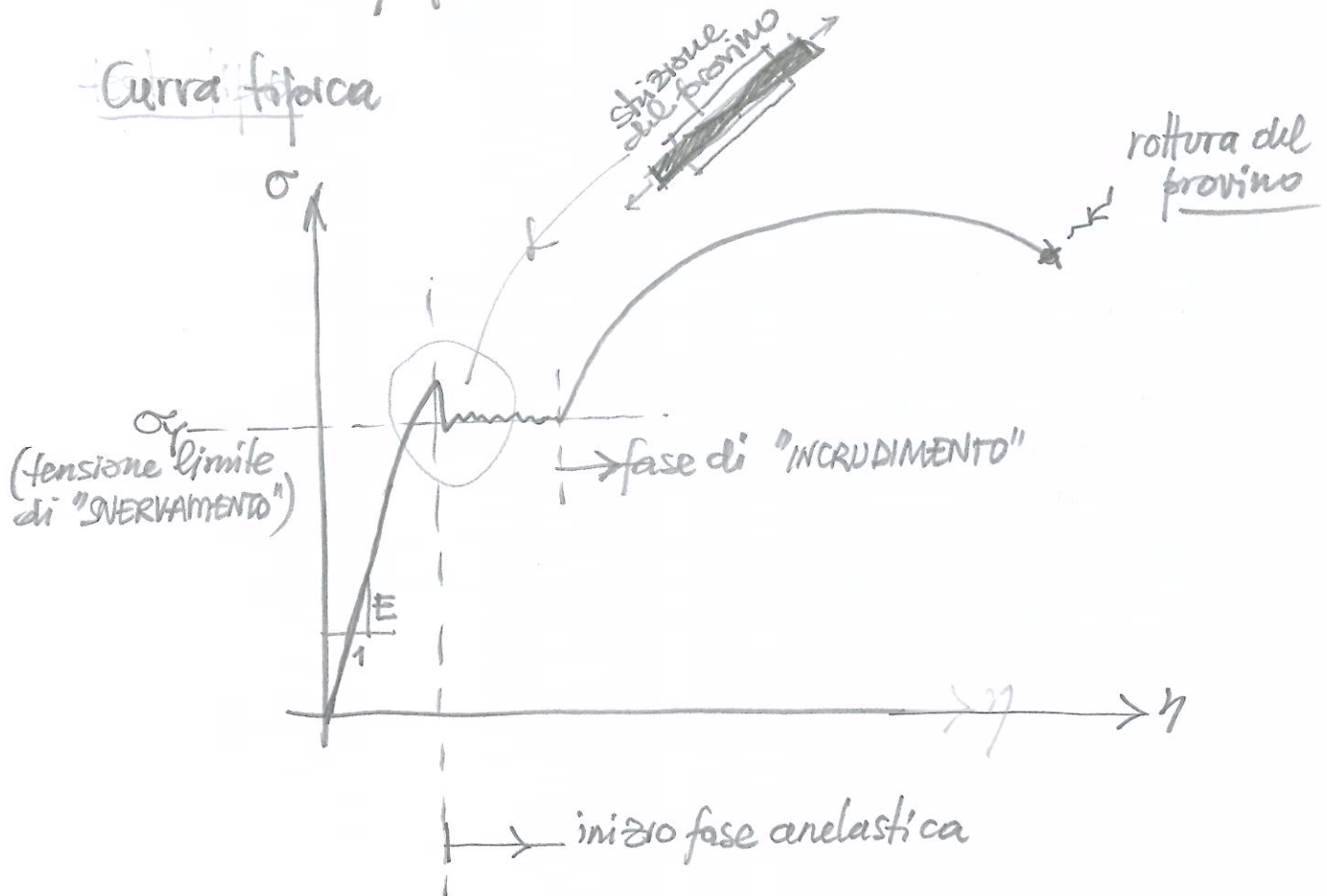
prova a trazione (su fibra longitudinale all'asse della
trave)



η % deformazione assiale
 E , modulo di Young

In realtà, la risposta tensionale σ del provino
trova valori di equilibrio anche in una fase
post-elastica, "fase anelastica" o "plastica"
in cui le η prodotte sono irreversibili

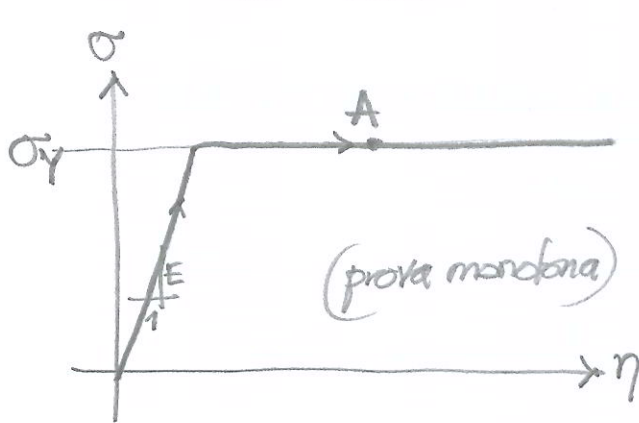
Curva tipica



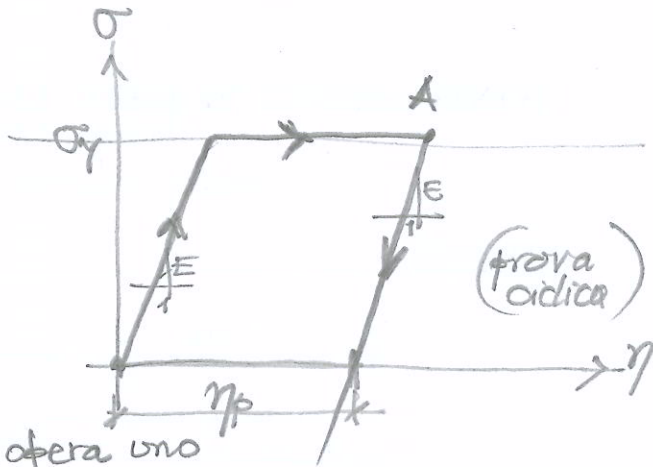
schematizzazione

"COMPORTAMENTO"

ELASTICO-PERFETTAMENTE PLASTICO (5)



(prova monotona)



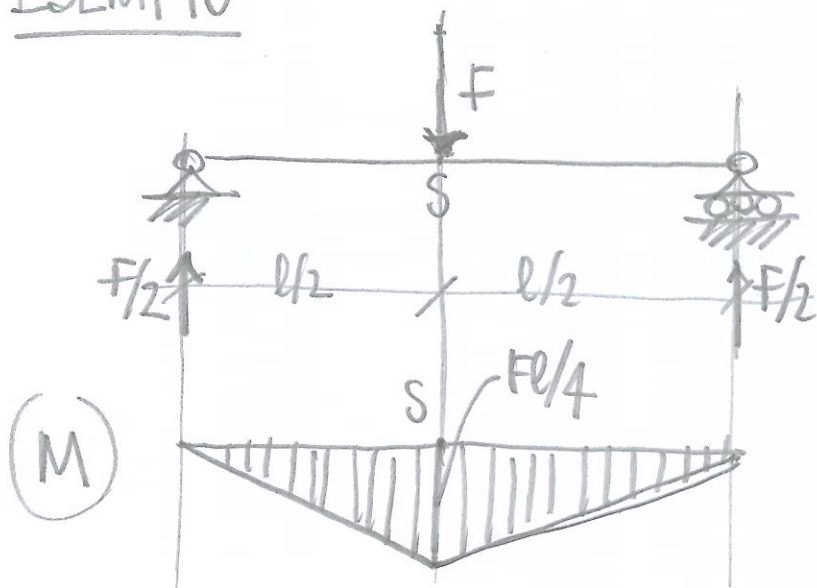
(prova ciclica)

se si opera uno "SCARICO" in un punto A della fase anelastica c'è un residuo di deformazione plastica irreversibile η_p

Per la TRAVE si può ipotizzare di monitorare in fase più che elastica le fibre assiali soggette a tensione derivata dalla sola componente sollecitativa di Momento Flettente

Si ipotizza inoltre che il comportamento a trazione e compressione sia perfettamente speculare.

ESEMPIO



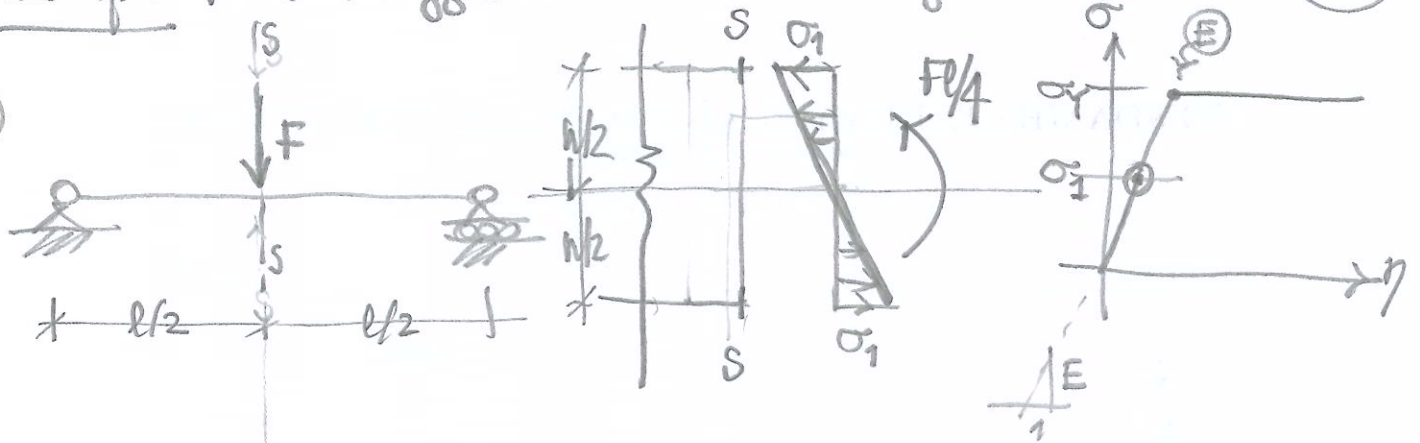
monitoraggio sezione S (rettangolare)

soggetta a un momento pari a $Fl/4$

esempio: monitoraggio sezione S rettangolare

(6)

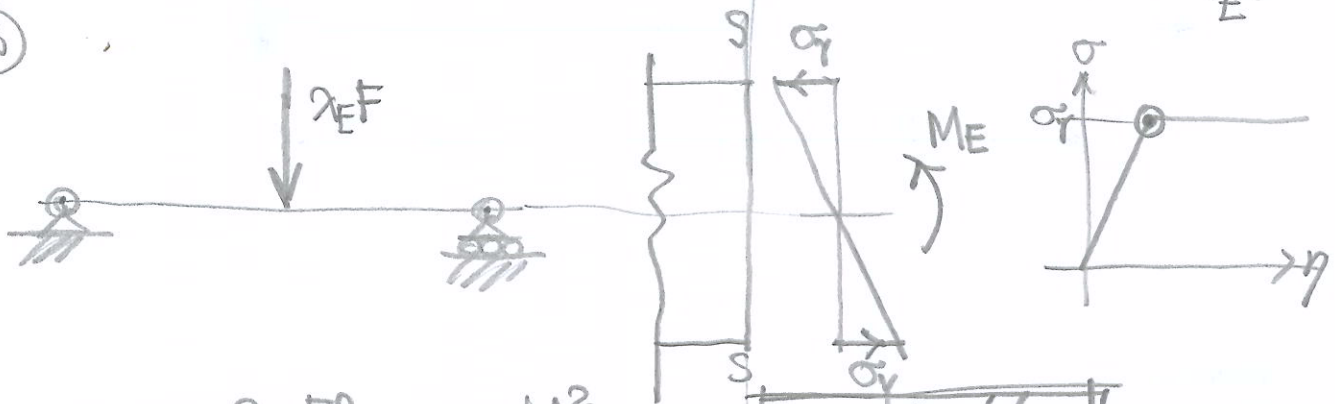
①



se $\sigma_y / \sigma_1 =: \lambda_E$ il carico può essere amplificato fino al valore $\lambda_E F$ e la trave resterà in fase elastica

condizione di "LIMITE ELASTICO" "E"

②



$$M_E = \lambda_E \frac{Fl}{4} \equiv \lambda_E \frac{\sigma_y b h^2}{6}$$

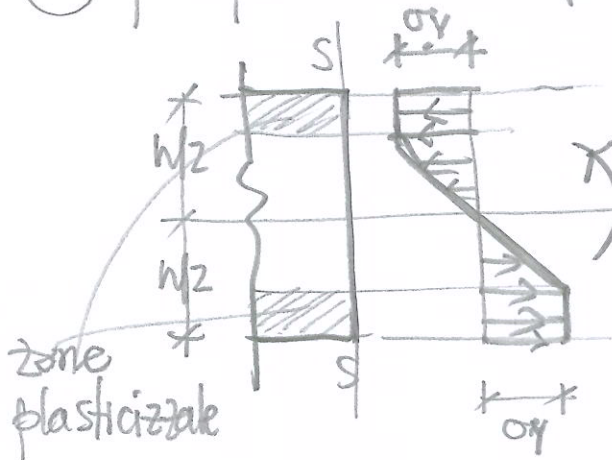
$$\Rightarrow \lambda_E = 4M_E / Fl$$

sovrapposibilità degli effetti (comportam. elastico lineare)

equivalenza fra tensioni e M in sezione rettangolare

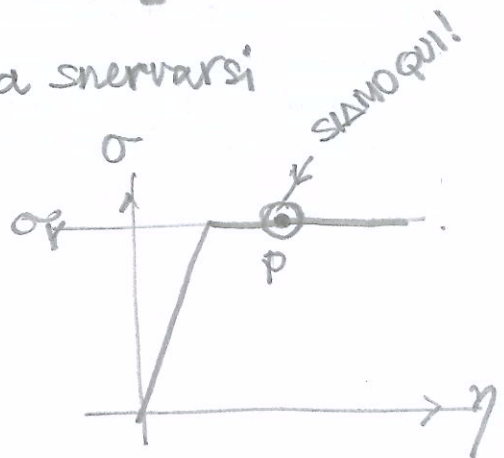
$$\sigma_y \frac{b h^2}{6} = M_E$$

③ fase plastica: altre fibre iniziano a snervarsi

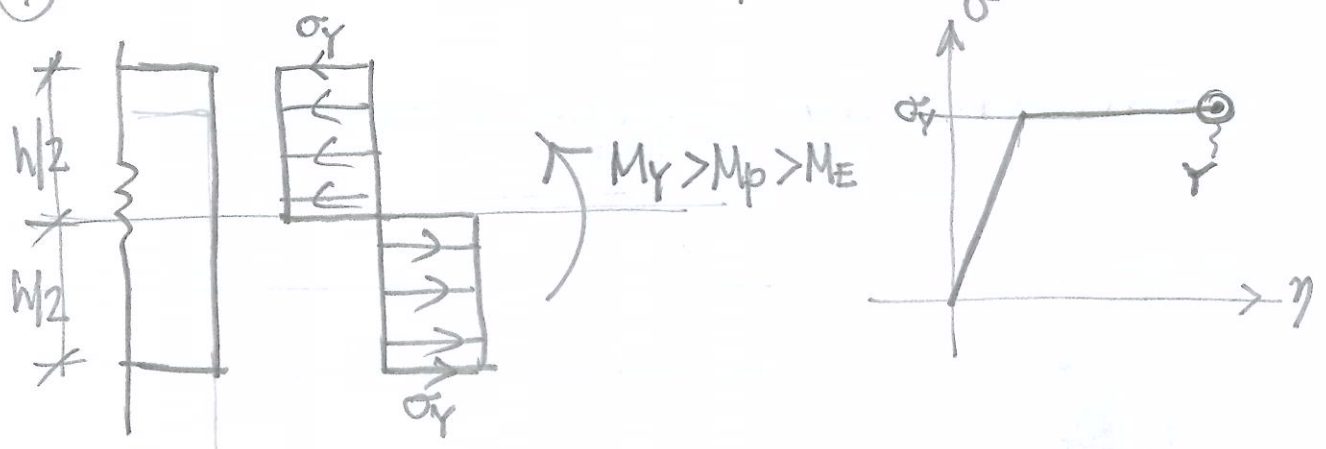


$M_p > M_E$
 $\lambda_p > \lambda_E$

è possibile amplificare il carico ulteriormente



④ rottura della trave: tutte le fibre si sono snervate

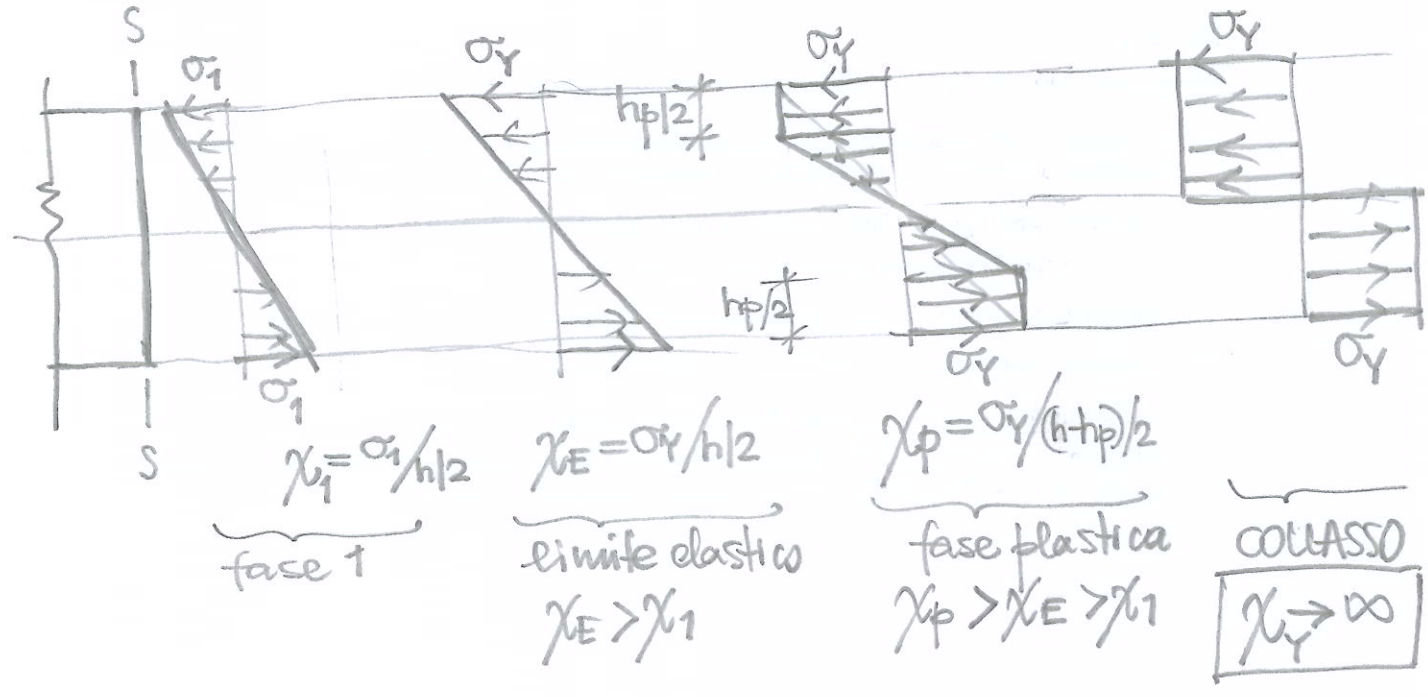


si è al collasso^(Y), cioè all'ultima condizione di EQUILIBRIO ammessa

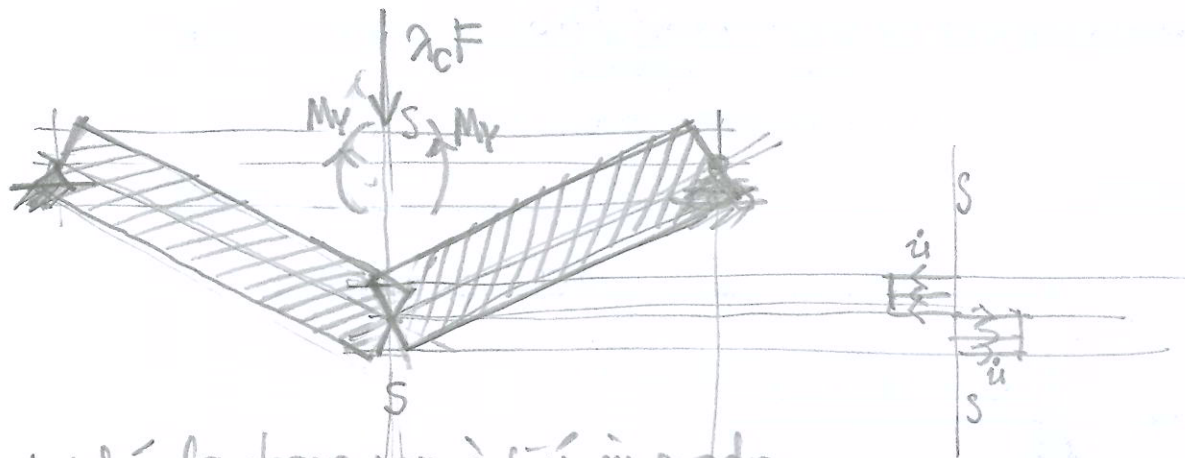
se c'è ancora eq. si può calcolare per equivalenza di sistemi di forze il legame fra flessioni a collasso e M_Y

$$M_Y = \sigma_Y \frac{bh^2}{4}$$

sella defluazione della trave: $\chi = M/EJ$ è in generale anche ottenibile come pendenza del diagramma delle flessioni sulla sezione



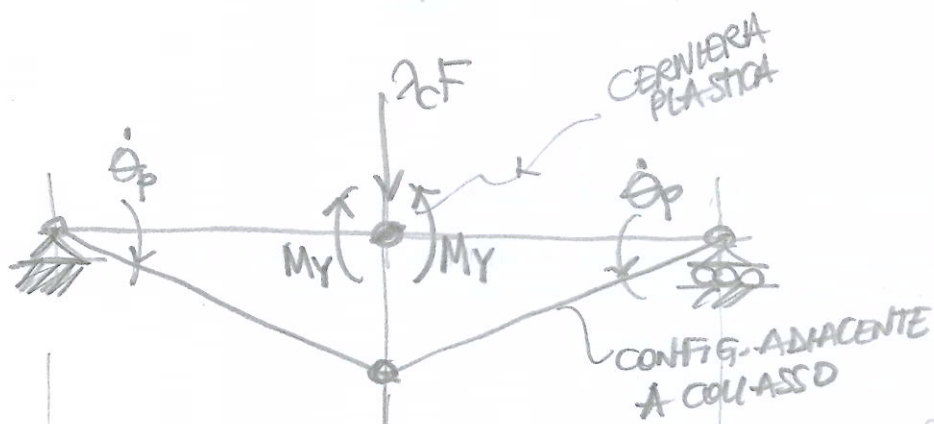
Il collasso si manifesta sulla trave come un atto di moto rigido di disconnessione (a momenti) nella sezione S



poiché la trave non è più in grado di "sopportare" momenti in S è come se, al collasso, in S si manifestasse una cerniera, "CERNIERA PLASTICA"

$\lambda_c F$ può quindi essere determinata come misura di potenza in un corpo rigido (per un ^{attacco} moto rigido plastico)

(questo è detto, infatti, collasso come ultimo stadio di col.)



pseudo

$$\lambda_c F \dot{\theta}_p \frac{l}{2} = 2 M_y \dot{\theta}_p$$

$$\lambda_c = \frac{4 M_y}{F l}$$

NB è una sorta di EQUILIBRIO ideale (l'ultimo ammesso sulla struttura), in cui la Pmt si trasforma in una potenza plastica dissipata tra M_y e la corrispondente "curvatura" $\theta_p \rightarrow \infty$.
Tale pseudo-potenza interna è per costruzione sempre ≥ 0

Si è definitivamente passati dal limite elastico $\lambda_E = \frac{4 M_E}{F l}$ al limite (plastico) a collasso $\lambda_c = \frac{4 M_y}{F l}$ (o limite "ultimo")
 $\rightarrow \lambda_c > \lambda_E$ poiché $M_y > M_E$!

precisione sull'egl ideale a collasso
valgono ancora i principi

$$\begin{cases} \lambda_c P_{est} - P_{int} = 0 \\ P_{int} - \dot{\phi} \geq 0 \end{cases}$$

ma si pongono se una cinematica di rottura in cui
 $\omega \dot{\phi} = 0$ (è un atto di moto rigido)

$$P_{int} = \sum M_y \dot{\theta}_p \geq 0$$

sono termini positivi perché generati
con $\dot{\theta}_p$ che ruotano come M_y

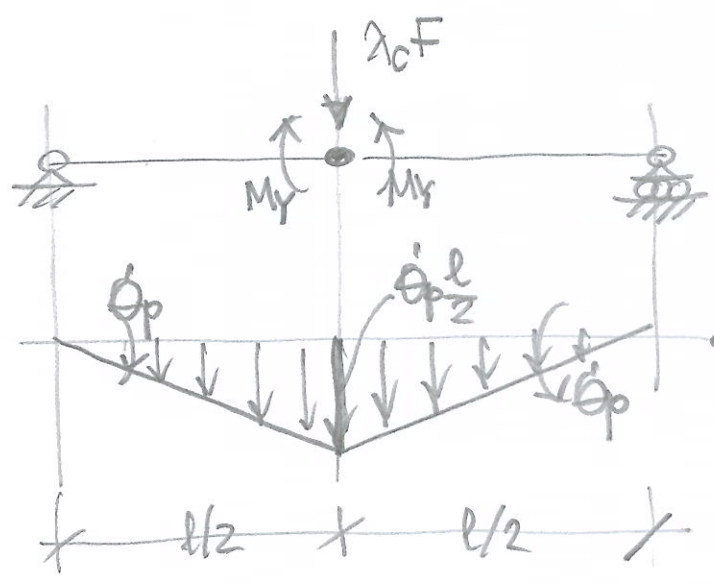
Quindi,

$$\lambda_c P_{est} = \sum M_y \dot{\theta}_p$$

misurata sull'atto di moto rigido
a rottura (che dà $\dot{\theta}_p$)

Nell'esempio

$$\lambda_c F \dot{\theta}_p \frac{l}{2} = 2 M_y \dot{\theta}_p$$



Atto di moto rigido a collasso

DEFINIZIONE GENERALE di COLLASSO STRUTTURALE

(9)

"ultima" condizione di equilibrio ammissibile per la struttura, che si manifesta, come un MECCANISMO che è un Atto di Moto RIGIDO (AMR) compatibile con i vincoli strutturali presenti.

Per "ultima" si intende una condizione di equilibrio a partire dalla quale un ulteriore incremento di carico non è possibile associare uno stato di equilibrio sulla struttura.

I principi di bilancio assumono quindi la seguente forma

$$\left. \begin{aligned} \lambda_c P_{est}^c - P_{int}^c &= 0 \\ P_{int}^c - \dot{\phi}_c &= \dot{D}_c \geq 0 \end{aligned} \right\} \text{ovvero } \lambda_c P_{est}^c - \dot{\phi}_c = \dot{D}_c$$

\dot{D}_c "potenza di spesa" a collasso

Perché si tratta di un MECCANISMO (AMR), $\dot{\phi}_c = 0$ e di conseguenza

$$\lambda_c P_{est}^c = \dot{D}_c \geq 0 \quad (1)$$

(A). La (1) dimostra che la potenza spesa dai carichi P_{est}^c non è mai NEGATIVA.

(B) \dot{D}_c , per quanto espresso nella pagina precedente assume la forma

$$\dot{D}_c = \sum_{cp} M_{y,c} \dot{\phi}_c \quad (2)$$

NB: ci si limita al SOLO CASO di CONTRIBUTI FLESSIONALI
 cp: cerniere plastiche che si formano per raggiungimenti di M_y

(E) Un moltiplicatore di carico è detto STATICAMENTE AMMISSIBILE (λ_s) se al carico risultante corrisponde una distribuzione M_s di momenti flettenti (ammissibile) tale che $M_s \leq M_y$ in ogni sezione.

(D) Un moltiplicatore di carico è detto CINEMATICAMENTE AMMISSIBILE (λ_f) se al carico risultante corrisponde una condizione di equilibrio valutata su un AMR che simula un MECCANISMO di COLLASSO, generato per formazione di cerniere plastiche (in cui si attinge M_y)

(C) configura un APPROCCIO "STATICO" al calcolo del carico di collasso, (moltiplicatore λ_c)

(D) configura un APPROCCIO "CINEMATICO"

ANALISI LIMITE : APPROCCIO STATICO
+ ——— CINEMATICO

TEOREMA STATICO

un moltiplicatore STATICAMENTE AMMISSIBILE non è MAI SUPERIORE a quello di collasso

(11a)

$$\lambda_S \leq \lambda_C$$

dimostrazione

M_S è la distribuzione di momenti in EQUILIBRIO con λ_S
Il rispetto dell'EQUILIBRIO può essere espresso sull'AMR che definisce il meccanismo di collasso in termini di bilancio di potenza

$$\lambda_S P_{est}^c = \sum_{cp} M_S \dot{\theta}_c \quad (3)$$

Però l'equilibrio a collasso si scrive come la (1) con la definizione (2)

$$\lambda_C P_{est}^c = \sum_{cp} M_Y \dot{\theta}_c \quad (4)$$

si può valutare la differenza $\lambda_S - \lambda_C$ usando le condizioni di equilibrio (3) e (4), cioè sottraendo membro a membro (3) e (4)

$$\lambda_S - \lambda_C = \frac{\sum_{cp} (M_S - M_Y) \dot{\theta}_c}{P_{est}^c} \quad (5)$$

Si come $P_{est}^c \geq 0$ (conclusione (A), pag. 9)
e vale l'ammissibilità ($M_S \leq M_Y$) la (5) dimostra il teorema

$$\lambda_S - \lambda_C \leq 0$$

TEOREMA CINEMATICO

un moltiplicatore CINEMATICO
AMMISSIBILE non è MAI
INFERIORE a quello di collasso

(116)

$$\lambda_c \leq \lambda_p$$

dimostrazione

Poichè il momento M_c è in equilibrio con λ_c , questa condizione di equilibrio a collasso può essere vista come bilancio di potenza generico AMR ipotizzato con approccio cinematico

$$\lambda_c P_{est}^p = \sum_{cp} M_c \dot{\theta}_p \quad (6)$$

λ_p è per definizione il risultato dell'equazione

$$\lambda_p P_{est}^p = \sum_{cp} M_y \dot{\theta}_p \quad (7)$$

Sottraendo, come prima, membro a membro (6) (7) si dimostra il teorema

$$\lambda_c - \lambda_p = \frac{\sum_{cp} (M_c - M_y) \dot{\theta}_p}{P_{est}^p} \leq 0$$

in quanto, per costruzione $P_{est}^p \geq 0$ e per ammissibilità $M_c \leq M_y$

OSSERVAZIONI

12

1. il moltiplicatore al limite elastico λ_E è uno dei possibili λ_S staticamente ammissibili perché è equilibrato ed è tale che $M \leq M_y$ (e in più è compatibile)

$$\Rightarrow \lambda_E \leq \lambda_C$$

questo risultato giustifica l'analisi elastica come progetto/verifica con $\sigma \leq \sigma_y$

2. In una struttura isostatica, può succedere che

$$\lambda_S \equiv \lambda_P \equiv \lambda_C$$

perché non si hanno "risorse" (in termini di sollecitazioni) alternative a quella equilibrata (di corpo rigido) $\rightarrow \lambda_S = \lambda_C$ e per lo stesso motivo basta un atto di moto rigido di disconnessione per attivare un collasso cinematicamente ammissibile $\rightarrow \lambda_P = \lambda_C$

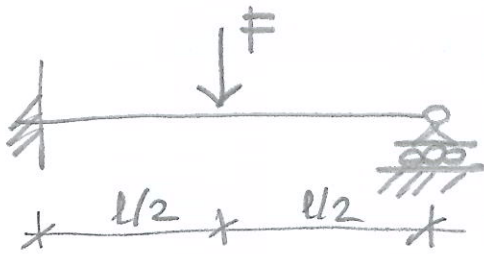
3. Se fin' generale con (teorema) approccio statico e con (teorema) approccio cinematico si ha $\lambda_S \equiv \lambda_P$ allora si ha una relazione certa di λ_C

$$\Rightarrow \lambda_C \equiv \lambda_S \equiv \lambda_P$$

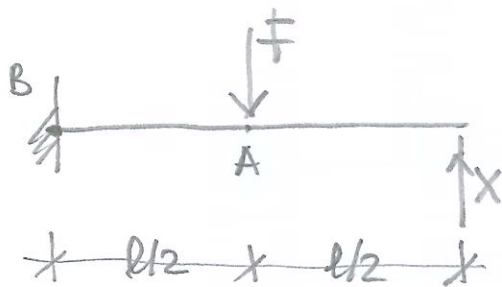
4. In generale i due teoremi insieme forniscono un intervallo di stima del collasso

$$\lambda_S \leq \lambda_C \leq \lambda_P$$

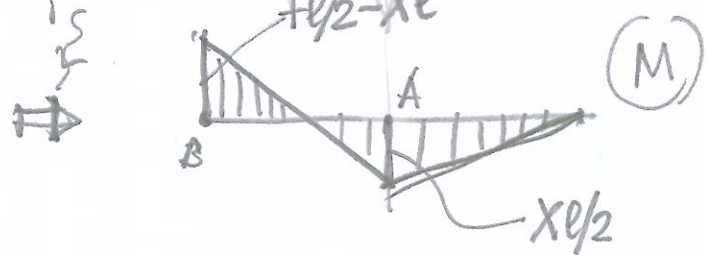
Esempio



Approccio statico



generico stato di sollecitazioni equilibrate

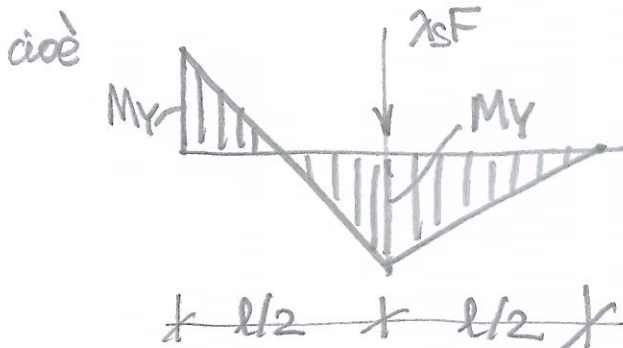


un generico M equilibrato ma anche plastico-ammissibile richiede due c.c.

$$\left. \begin{array}{l} \text{in A} \quad Xe/2 \leq M_Y \\ \text{in B} \quad Fl/2 - Xe \leq M_Y \end{array} \right\} (1)$$

poichè possiamo moltiplicare F per un λ_s e tale λ_s è al massimo λ_c , massimizziamo la condizione (1) come

$$\left. \begin{array}{l} \text{in A} \quad Xe/2 = M_Y \\ \text{in B} \quad \lambda_s \frac{Fl}{2} - Xe = M_Y \end{array} \right\}$$



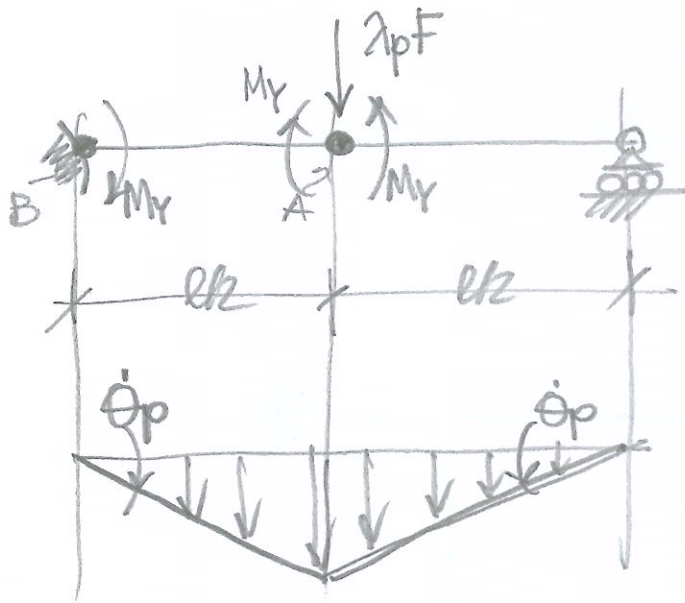
$$\lambda_s \frac{Fl}{2} - 2M_Y = M_Y$$

$$\boxed{\lambda_s = \frac{6M_Y}{Fl}} \leq \lambda_c$$

Approccio cinematico

(14)

si ipotizza un atto di moto rigido a collasso
e si misura λ_p (\leftarrow 2 cerniere plastiche in A e B)



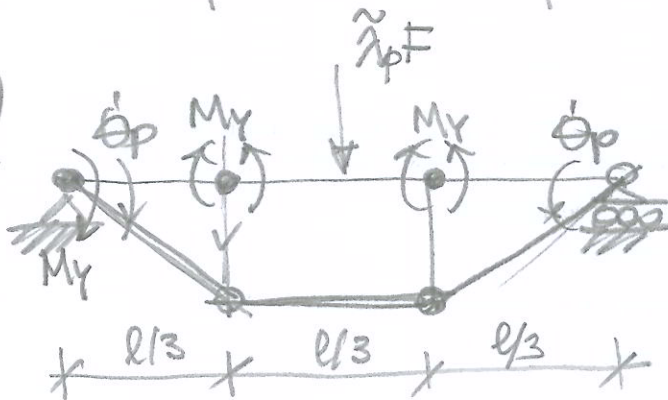
$2M_Y \dot{\theta}_p$ in A
 $2M_Y \dot{\theta}_p$ in B

$$\lambda_p F \dot{\theta}_p \frac{l}{2} = 3M_Y \dot{\theta}_p$$

$$\Rightarrow \lambda_p = \frac{6M_Y}{Fl} \geq \lambda_c$$

$$\Rightarrow \lambda_c \equiv \lambda_p \equiv \lambda_s = \frac{6M_Y}{Fl}$$

NB se per esempio si fosse usato un atto a collasso
con formazione di più cerniere plastiche



$$\Rightarrow \tilde{\lambda}_p F \dot{\theta}_p \frac{l}{3} = 5M_Y \dot{\theta}_p$$

$$\Rightarrow \tilde{\lambda}_p = \frac{15M_Y}{Fl} > \lambda_c$$

oppure un M equilibrato (nell'approccio statico)
in cui,

$$\begin{cases} \text{in A} & Xl/2 = M_Y/2 \\ \text{in B} & \tilde{\lambda}_s Fl/2 - Xl = M_Y \end{cases} \Rightarrow \tilde{\lambda}_s = \frac{4M_Y}{Fl} < \lambda_c$$

avremmo dedotto (come da teoremi)

$$\tilde{\lambda}_s \equiv \frac{4M_Y}{Fl} \leq \lambda_c \leq \frac{15M_Y}{Fl} \equiv \tilde{\lambda}_p$$